

## ВЛИЯНИЕ УТЕЧКИ НОСИТЕЛЕЙ ИЗ АКТИВНОГО СЛОЯ НА ДИФФЕРЕНЦИАЛЬНОЕ СОПРОТИВЛЕНИЕ ЛАЗЕРНОГО ДИОДА

П.Г. Елисеев, О.Г. Охотников, Г.Т. Пак

УДК 621.382.3

Рассмотрена модель лазерного диода, учитывающая изменение сопротивления эмиттерного слоя гетероструктуры под влиянием утечек избыточных носителей из активного слоя. Модель качественно согласуется с опытом и при некоторых условиях дает аномальное приращение дифференциального сопротивления на пороге вместо его уменьшения в нормальных диодах.

Удержание инжекционных носителей в пределах активного слоя с помощью гетеробарьеров (так наз. "электронное ограничение", см., напр., /1/) является преимуществом инжекционных гетеролазеров, позволяющим получить низкое значение пороговой плотности тока по сравнению с гомолазерами. Утечка носителей через гетеробарьер нежелательна, однако она в большей или меньшей мере проявляется вблизи верхнего предела рабочих температур. Поскольку эта утечка нарастает с температурой, она дает вклад в температурную зависимость порогового тока, снижает параметр  $T_0$ , характеризующий экспоненциальный рост порога.

Проникновение носителей в эмиттерный слой за счет утечки из активного слоя приводит к понижению его сопротивления и может обнаруживаться по электрическим измерениям. В настоящей работе рассматривается взаимосвязь утечки носителей с дифференциальным сопротивлением (ДС) диода, измеряемым с помощью слабой модуляции тока через диод. ДС испытывает резкое изменение на пороге генерации, и в нормальных условиях происходит исчезновение нелинейного ДС инжеектирующего контакта (р-п перехода) вследствие эффекта насыщения усиления в лазере /2/. Между тем, иногда в полосковых непрерывных лазерах регистрируется только частичное сниже-

ние или даже возрастание ДС (аномалия "фотоэлектрического" типа /3/). Учет нелинейного ДС эмиттерного слоя позволяет объяснить это поведение.

Ограничимся анализом ДС эмиттерного слоя р-типа на примере гетероструктуры AlGaAs/GaAs, поскольку он вносит наибольший вклад в нелинейную часть сопротивления диода (вклад активного слоя и второго эмиттера, по-видимому, много меньше). Локальная электропроводность материала эмиттера  $\sigma(x) = \sigma_0 + \sigma_1 N(x)$ , где  $\sigma_1 = e(\mu_e + \mu_h)$ ;  $\mu_e, \mu_h$  – соответственно подвижности электронов и дырок,  $N$  - концентрация избыточных носителей. Полное сопротивление эмиттерного слоя  $R_{em}$  толщиной  $d$  и сечением  $S$  будет равно

$$R_{em} = S^{-1} \int_0^d \sigma(x)^{-1} dx. \quad (1)$$

Используя модель с экспоненциальным распределением носителей  $N(x) = N_0 \exp(-x/l)$ , где  $l$  - длина диффузии. Границочную концентрацию  $N_0$  связем с током утечки  $I_l$ :

$$N_0 = I_l l / e D S,$$

где  $D$  - коэффициент диффузии носителей. Известно, что скорость утечки можно приближенно представить в виде степенной функции концентрации носителей  $N_a$  в активном слое,  $I_l \propto N_a^q$ , где  $q \approx 5,5 / 4$ . В свою очередь,  $N_a$  связана степенной зависимостью с током накачки  $I(I \propto N_a^n$ , где  $n \approx 1 \div 3$ , в зависимости от преобладающего механизма рекомбинации и утечки). Стого говоря,  $q$  и  $n$  - не константы в широком диапазоне тока, однако для упрощения модели примем степенную зависимость  $I_l \propto I^m$  что позволяет выразить  $N_0$  в виде

$$N_0 = N^* (I/I^*)^m,$$

где  $N^*$  и  $I^*$  - подгоночные константы, а величина  $m$  находится, по-видимому, между 2 и 3 (пока ток утечки составляет малую часть полного тока). Интегрирование (1) дает

$$R_{em} = \frac{d}{\sigma_0 S} \left[ 1 + \frac{1}{d} \ln \frac{\sigma_0 + \sigma_1 N_0 \exp(-d/l)}{\sigma_0 + \sigma_1 N_0} \right]. \quad (2)$$

Напряжение  $U$  на диоде представим в виде

$$U = IR_s + IR_{em}(I) + (\beta kT/e) \ln(I/I_0),$$

где  $R_s$  - линейное последовательное сопротивление, последний член справа - напряжение на инжектирующем контакте ( $\beta kT$  и  $I_0$  - параметры вольтамперной характеристики). Тогда ДС равно

$$\frac{dU}{dI} = R_s + R_{em}(I) + I \frac{dR_{em}(I)}{dI} + \frac{\beta kT}{eI}. \quad (3)$$

На рис. 1 сплошной линией показан пример кривой ДС, рассчитанной по формуле (3) с учетом выражения (2). При  $I \rightarrow 0$  кривая спрямляется и ее экстраполяция к  $I \rightarrow \infty$  дает на оси ординат значение  $R_s + R_{em}(0)$ , т.е. величину ли-

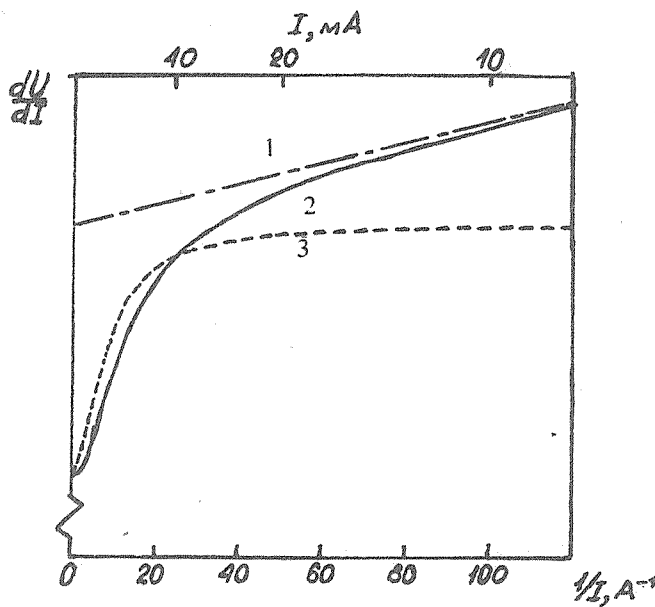


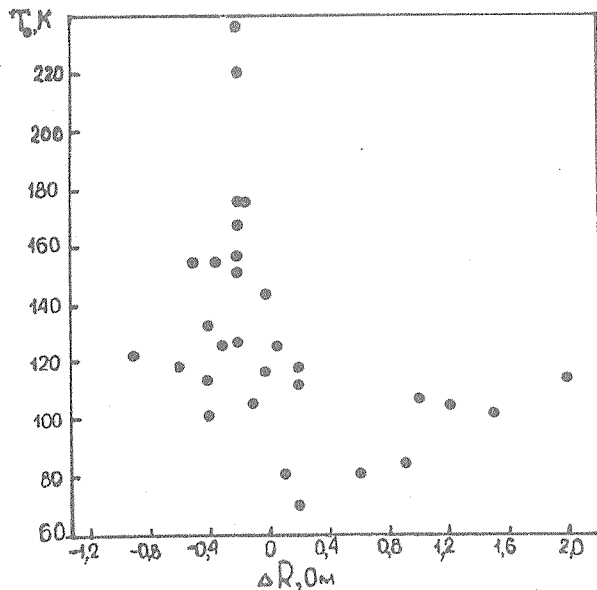
Рис. 1. Расчетная кривая дифференциального сопротивления диода  $dU/dI$  (1), прямая  $R_s + R_{em}(0) + (\beta kT/eI)$  (2) и расчетная кривая  $R_s + R_{em}(I)$  (3) как функции  $1/I$ . Параметры расчетной модели:  $S = 3 \cdot 10^{-5} \text{ см}^2$ ;  $d = 3 \cdot 10^{-4} \text{ см}$ ,  $i = 10^{-4} \text{ см}$ ,  $\mu_e = 10^3 \text{ см}^2/\text{Вс}$ ,  $\mu_h = 10^2 \text{ см}^2/\text{Вс}$ ,  $I^* = 10 \text{ мА}$ ,  $N^* = 3 \cdot 10^{14} \text{ см}^{-3}$ ,  $m = 2$ ,  $N_{ho} = 10^{17} \text{ см}^{-3}$

нейного сопротивления для случая, когда утечка в эмиттер отсутствует. Формальная интерпретация наклона кривой ДС при большом токе приводит к значительному завышению параметра  $\beta$ .

В лазерном режиме при стабилизации напряжения на инжектирующем контакте ДС диода составит  $R_s + R_{em}(I_{th})$ , где  $I_{th}$  - пороговый ток. В этом случае на пороге должен происходить перескок ДС со сплошной кривой на штриховую кривую на рис. 1, представляющую  $R_s + R_{em}(I)$ . Видно, что при  $I_{th} > 40$  мА скачок ДС будет иметь положительный знак, что и соответствует аномалии, упомянутой в начале статьи. Вообще величина скачка ДС

$$\Delta R = -I_{th} \left. \frac{dR_{em}(I)}{dI} \right|_{I=I_{th}} = \frac{\beta kT}{e} \frac{1}{I_{th}}$$

может быть положительной, отрицательной или равной нулю.



Р и с. 2. Взаимосвязь между пороговым скачком дифференциального сопротивления  $\Delta R$  и параметром  $T_0$  температурной зависимости порога (определенными при 300 К) в серии непрерывных полосковых лазеров на основе AlGaAs/GaAs

Наблюдение практически полного исчезновения нелинейного ДС в гомолазерах /2/ объясняется сильным легированием областей, прилегающих к р-п переходу, сопротивление которых практически не изменяется. Роль утечек, выявленных по измерениям ДС, подтверждается антикорреляцией между экспериментальными значениями  $\Delta R$  и  $T_o$ , показанной на рис. 2. Измерения проведены на разнородных лазерах полоскового типа при комнатной температуре. Видно, что у аномальных образцов ( $\Delta R > 0$ )  $T_o$  практически не превышает 120 К. С использованием уточненной модели диода по измерениям ДС будет возможно провести более детальное изучение механизма утечек и безызлучательных потерь в лазерных диодах.

Поступила в редакцию 14 сентября 1983 г.

#### ЛИТЕРАТУРА

1. П.Г. Елисеев, Введение в физику инжекционных лазеров, "Наука", М., 1983 г., с. 187-192.
2. П.Г. Елисеев и др., Сб. "Физика р-п переходов в полупроводниковых приборах", "Наука", Л., 1969 г., с. 131-141.
3. П.Г. Елисеев, О.Г. Охотников, Г.Т. Пак, Квантовая электроника, 7, № 8, 1670 (1980).
4. C.B. Su et al., Electron. Letts, 18, № 25, 1108 (1982).